

írásbeli jegymegajándó kötelező, szóbeli javítás

- Kiss Ádám és Patkó's András
- Marx Gy., Nagy K., Gesti T. - Kvantummechanika könyvek bevezető részei kellenek a kvantum részhez
- ion. elte. hu / ~ kissadam

jogadó óra : 0.122-ben # 15-16

Kiss D., Horváth A., Kiss A.: Kísérleti atomfizika Ered.

Simonyi K.: Elektronfizika 582

Kerthely Lajos: Atomok és atomi részecskék 70

T. Mayer - Kuckuk: Atomphysik

Történelmi áttekintés:

- ókori atomelméletet → kísérlet, gondolkodás volt csak, inelweins ↳ deukiposz, Demokritos, Epikurosz
- Newton, Bernoulli, Dalton, Avogadro, Prout, Brown, Mengyelejev, Röntgen, Zeeman, Becquerel, Thomson, Curie-k, Planck, Einstein, Rutherford, Millikan, Bohr, Compton, Stern, Gerlach, de Broglie, Pauli, Schrödinger, Davisson, Germer, Heisenberg, Chadwick, ... magfizika fejlődése ... részecskefizika ...

I. Atomok a természetben

I.1. Az anyag atomos felépítése

- Faraday elektrolízis
 to. e. $Q = \frac{F}{M} n$ Faraday-állandó
 $F = 9,649 \cdot 10^4 \frac{C}{mol} \rightarrow 27 \frac{Ah}{mol}$
 egész szám \leftarrow molekulasúly \leftarrow ekvivalens tömeg

- töltéstranszport gázokban
 környezetből elválasztva, kisülést létrehozunk
 töltést mozgása valószínű,

↳ töltéset névvalnak

↳ $\frac{e}{m}$ fajlagos töltés (Thomson) meghatározása

↳ izotópok felfedezése

↳ negatív töltéset \rightarrow komplex keverék (nehéz negatív ionok + el.)

↳ nagy fajlagos töltésű nyálak lép ki kis nyomás esetén (majdnem vákuum)

• katódsugarak (Thomson) kísérleti eredmények!

negatív töltés bizonyítása elektronos ill. mágneses térrel

ernyőn felvilágítás

vákuumban is van elektronos veretés

$\frac{e}{m}$ állandó

↳ elektronok

↳ elléprezés: pozitív és negatív töltéset egyéjge az atom pozitív töltés a nehéz

eréből az első atommodell \rightarrow kalácsmodell

Az elemi töltés:

Millikan meghatározta meg, olajcseppes kísérlet:

1. porlasztó
2. olajcseppet süllyedhet
3. belemehetnek a nyílásba, ahol figyeljük és be lehet kapcsolni az elektronos teret
4. Röntgen-sugarakkal besugározzuk az olajcseppet, hogy töltöttek legyenek
5. 3 esetben lehet vizsgálni az olajcsepp sebességét \rightarrow tér nélkül (η)

$$m\eta = \frac{4\pi r_0^3}{3} (\rho_{oil} - \rho_{air}) \cdot g = 6\pi \eta r_0 v_{\pm}$$

↳ ténél: $\frac{4\pi r_0^3}{3} (\rho_{oil} - \rho_{air}) g \pm Q |E| = 6\pi \eta r_0 v_{\pm}$

$$Q = 6\pi \eta r_0 (v - v_0) \quad r_0 \text{ szabadeseből } \checkmark$$

$$Q = n \cdot e \quad n \rightarrow \text{egér szám } \eta, |E| \text{ ismert } \checkmark$$

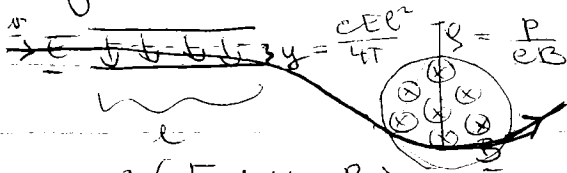
egér számú többöröse volt mindig minél a töltés

pontoság 1% körül volt
 töltés tényleg kvantált $e = 1,6 \cdot 10^{-19} \text{ C}$
 elemi töltés természetü állando

Az elektron fajlagos töltése: (Thomson)

elektromos és mágneses terekkel való elterítéssel
 határozható meg mindennek a fajlagos
 töltése

ezekben a kísérletekben vákuum van
 homogén elektromos tér



$$m\mathbf{a} = -e(\mathbf{E} + \mathbf{v} \times \mathbf{B})$$

elektromos térben

$$a = v' = \frac{e}{m} E \quad t = \frac{l}{v}$$

$$y = \frac{a}{2} t^2 = \frac{e}{2m} E \frac{l^2}{v^2} = \frac{eEl^2}{4T} \quad \text{kin energia} \quad T = \frac{1}{2} m v^2$$

$$T = \frac{eEl^2}{4y} \quad \text{kinetikus energia}$$

mágneses térben $\frac{mv^2}{r} = e(v \times B) \quad mv = p = eB r$
 görbületi sugár impulzus

y-t és r-t mérünk

$$m = \frac{p^2}{2T} = \frac{(eB r)^2}{2 \left(\frac{eEl^2}{4y} \right)} = \frac{2eB^2 r^2 y}{El^2} \Rightarrow e-t \text{ nem ismerjük}$$

$$\frac{p}{m} = \frac{El^2}{2B^2 r^2 y} \quad \text{nagy energiáknál relativisztikusan kell számolni}$$

a kísérletnél a teret változtathatjuk
 használható tömegspektrométerrel és gyorsító-
 nál

Thomson megmérte, hogy $\frac{e}{m}$ függ a sebességtől
 $\Rightarrow m$ függ a sebességtől

$$m = m_0 \frac{1}{\sqrt{1-\beta^2}} \quad \beta = \frac{v}{c} \quad \text{fo. szerint változik}$$

Kaufman 1902 körül írta ezt fel

e nem függ a sebességtől \rightarrow kísérletekből

ma az elektron $\frac{e}{m_0}$ - jeve $= 1.758804 \dots \cdot 10^{11} \frac{C}{kg}$

nyugalmi tömeg: $m_0 = 0.91 \cdot 10^{-30} kg$

Avogadro-szám (Loschmidt-szám)

$N_A = \frac{F}{e}$ más módszerekből is

melnyi mennyiségű anyag molekuláinak száma

$N_A = 6.022 \cdot 10^{23} \frac{1}{mol}$

Loschmidt - ~~szám~~ konstans $n_0 = 2.7 \cdot 10^{25} \frac{1}{m^3}$

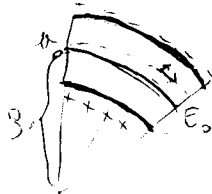
Atomok tömege:

• relatív atomtömeg: egysége ^{12}C 12-ed része
 $M_{12} \frac{1}{12} = 1 AMU = 1.66 \cdot 10^{-27} kg = 931.481 \frac{MeV}{c^2} = 1822.84 m_0$ (elő)

Atomic Mass Unit

• abszolút atomtömeg: tömegspektrógráffal
 intenzitás és felbontás (pontosság) között kompromisszumot kell kötni \rightarrow irány & sebesség szerint növelés ^{ellen} ~~ellen~~ ^{kevesebb} ~~kevesebb~~ ^{intenzitás} ~~intenzitás~~ ^{esetén} ~~esetén~~
 vákuumban: gyorsítás (E-vel), elhajlítás (B-vel)

• Nier -féle tömegspektrógráf \rightarrow irányfókusz
 vákuumrendszer \downarrow egy pontba fókuszál a mágneses ^{ter} ~~ter~~
 • Mattauch -féle $\sim \rightarrow$ kettős fókuszálás
 radiális kondenzátor



$\frac{m v_0^2}{2} = q E_0$

a gyorsabbat ~~lassítja~~ ~~elgyorsítja~~ ^{lassítja} és fordítja

elrontja a réttartás, de a sebesség hasonlóbb lesz a réttartás a mágneses tér fókuszálása

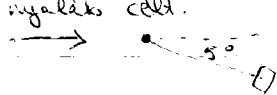
• tömegspektrum 10^{-6} relatív érzékenységgel voltak
 • Aston építette az első: Neon izotópot fedezett fel \rightarrow atomi tömegegység

Elemi folyamatok: katasztrofometria (σ)

$N_r = \sigma j N_T \leftarrow$ *eltérőmagok száma* $= \sigma j g A dx = \sigma \frac{dN}{dt} g A dx$
 $N_r = \sigma N g dx$
 ↑ *időegységre jutó részecskeszám* ↑ *reakcióhatékonyság* ↑ *reakció*

$n = \sigma N g x$

differenciális katasztrofometria:



$\frac{d\sigma}{d\Omega} = \lim_{\Omega \rightarrow 0} \frac{\sigma}{\Omega}$ $\Omega = \frac{A}{r^2}$
adott térszöghez tartozik

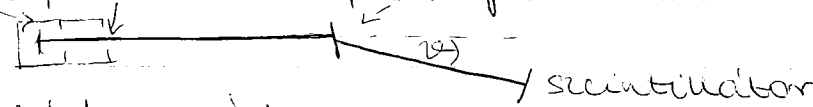
Pl. 1. fólián való ~~intenzitás~~ intenzitáscsökkenés

$dN = -N \sigma g dx$ $\frac{dN}{dx} = -(\sigma g) N$ $N(x) = N_0 e^{-\sigma g x}$

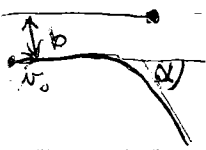
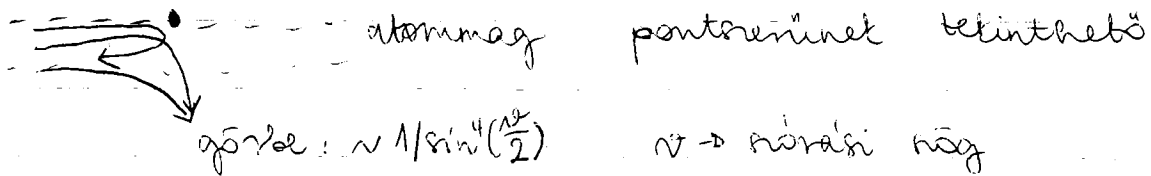
elnyelődött részecskék száma

Rutherford - kísérlet: 1911. felfedezték az atommagot

α -forrás, kollimátor, Au fólia



szögeloszlást mérte meg



$\tan \frac{\theta}{2} = \frac{k e^2 Z_1 Z_2}{(2) m v_0^2 b}$

$2\pi b db = p(b) db$

$p(\theta) d\theta = p(b) db$

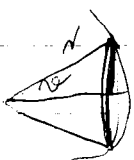
$p(\theta) = p(b) \frac{db}{d\theta} \rightarrow$ *deriválható*

$N_r = \frac{d\sigma}{d\Omega} \Delta\Omega j N_T$
 $\Delta\Omega \rightarrow$ *1 legyen*

$\frac{N(\theta, \theta + \Delta\theta)}{p(\theta) d\theta} = \frac{d\sigma}{d\Omega} \Delta\Omega \frac{N(b) b \Delta b}{2\pi b \Delta b}$

$\frac{p(\theta) d\theta \Delta\Omega}{\Delta\Omega p(b) db} = \frac{d\sigma}{d\Omega} = \frac{p(\theta) d\theta}{(\cdot) \sin^2 \theta d\theta}$

$\frac{d\sigma}{d\Omega} = \frac{p(\theta)}{\sin^2 \theta} (\cdot)$



$r \sin \theta \Delta\Omega = \frac{A}{r^2} = \frac{r \sin \theta r d\theta d\phi}{r^2}$

$$b(\theta) = \frac{ke^2 Z_1 Z_2}{(2m v_0^2)} \operatorname{ctg} \frac{\theta}{2} = a \operatorname{ctg} \frac{\theta}{2}$$

$$\frac{db}{d\theta} = a \frac{\frac{1}{2} \sin \frac{\theta}{2} \sin \frac{\theta}{2} - \frac{1}{2} \cos \frac{\theta}{2} \cos \frac{\theta}{2}}{\sin^2 \frac{\theta}{2}} = a \left(\frac{1}{2}\right) \frac{1}{\sin^2 \frac{\theta}{2}}$$

$$\frac{d\sigma}{d\Omega} = \frac{P(\theta)}{\sin^2(\theta)} = \frac{2\pi b \frac{db}{d\theta}}{\sin^2 \theta} = \frac{2\pi b}{\sin^2 \theta} \frac{a}{2} \frac{1}{\sin^2 \frac{\theta}{2}} = \frac{2\pi a^2 \frac{\cos^2 \frac{\theta}{2}}{\sin^2 \frac{\theta}{2}}}{2 \sin^2 \frac{\theta}{2} \cos^2 \frac{\theta}{2} 2 \sin^2 \frac{\theta}{2}} = \left(\frac{\pi}{2}\right)^2 a^2 \frac{1}{\sin^4 \frac{\theta}{2}}$$

feltétel: pontszerű sűrűségű spherikus töltéshalmazban igaz az 180° -os nézőszög

ad egy felső határt az atommag méretére

$$\frac{1}{2} m v_0^2 = \frac{ke^2 Z_1 Z_2}{R}$$

$$R = \frac{ke^2 Z_1 Z_2}{E_\alpha} = \frac{1,44 \text{ MeV} \cdot \text{fm} \cdot 2 \cdot 79}{5 \text{ MeV}} = 45,5 \text{ fm}$$

(+ 5-10 MeV)

atommag: $45 \cdot 10^{-14} \text{ m}$

atom mérete 10^{-10} m

eltér a Coulomb-töréstől a nagysebességű (40 MeV) energiájú α -részecske esetén \rightarrow nemlineáris \rightarrow ki lehet pontosan mérni az atommag méretét

az lehet a legkisebb megközelítés p.p.-re

$13 \cdot 10^{-15} \text{ m}$ az atommag

↓
anomális Rutherford-törés

Atomok mérete:

\hookrightarrow elektronfelhő (diffúz)

\hookrightarrow atomterfogat állandó $0,6 - 2,6 \text{ \AA}$ között ($1 - 2 \text{ \AA}$)

\hookrightarrow atommag összehúz, elektronok sűrűségének

Rutherford-Lygg-modellel

\hookrightarrow a hejereszteret látják az atomok méreteiben

\hookrightarrow átlagosan azért nő kis méretben a rendszerrel az átmenő

I.2.

• Ingyadozási jelenségek:

- részecskékből épül fel a világ \downarrow
- makroszkopikus meggyílvánulása az ingadozási jelenségek \rightarrow statisztikus fizika
- atomokból álló rendszereket vizsgálunk:

1. Brown - mozgás: 1827. Brown

virágpor mozgását nézte, mert nem állt meg apró részecskék is állandóan mozogtak

- a mozgás független az időtől
- független a folyadék kémiai összetételétől
- nem a tartály méretétől függ
- rendezetlen
- hőmérséklettel nő, viszkozitással csökken, részecskemérettel csökken

teljes magyarázat: Einstein, Smolochowsky

$$m \frac{d^2x}{dt^2} = F_x(t) - 6\pi\eta r \cdot \frac{dx}{dt} \quad / \cdot 2 \cdot x$$

széles testre átlagolni kell

x és F_x korrelálatlan (nem áramlásrendszer)

\hookrightarrow részecskék hatását kölcsön a sokkal nagyobb részecskékkel $\overset{\text{átlag}}{x} F_x = 0 \rightarrow$ átlagosan (ebben a fizikában)

$$\frac{d}{dt}(x^2) = \frac{2kT}{6\pi\eta r} + c \exp\left(-\frac{6\pi\eta r}{m} t\right)$$

$$x^2 = \frac{kT}{3\pi\eta r} \cdot t \quad \text{átlagos elmozdulásnégyzet átlaga}$$

Einstein arányos az idővel

kísérletek nehezen végezhetőek el (Perrin)

minden igaznak bizonyult

$F_x \cdot x = 0$ nem lehet folytonos eloszlásnál, csak kis részecskékéknél

minden részecske így mozog!

kihordható az Avogadro-szám

2. Sörétzaj (Schottky 1926)

a hangrőrő nem folytonos jelet adott, hanem pulzáló hangot

$$\text{átlépés áram} \quad I = \frac{eN}{T} \leftarrow \text{köszön idő}$$

$\tau \ll T$ kis idő $n =$ elektronok száma

$$(\Delta n)^2 = \overline{(n - \bar{n})^2} = \overline{n^2} - \bar{n}^2 \quad p = \frac{\tau}{T} \quad q = 1 - p$$

valószínűség τ -hoz n tartozik

$$W(n) = \binom{N}{n} p^n q^{N-n} = \dots$$

$$\bar{n} = \sum_{n=0}^N n W(n) = \dots = pN = N \frac{\tau}{T}$$

$$\overline{n^2} = \dots = pN + p^2 N(N-1)$$

$$(\Delta n)^2 = pN + p^2 N(N-1) - p^2 N^2 = Npq$$

áramingadozás: $(\Delta I)^2 = (I(\tau) - I)^2 = \frac{e^2}{T^2} (n - \bar{n})^2 = \frac{e}{T} I \left(1 - \frac{\tau}{T}\right)$

$$T \rightarrow \infty \Rightarrow \Delta I = \sqrt{\frac{e}{T} I} \Rightarrow \left(\frac{\Delta I}{I}\right)^2 = \frac{1}{n}$$

kisebület \rightarrow ingadozások Δf frekvenciatartományban

$$\Delta f = \frac{1}{2\tau} \leftarrow \text{mintavételési idő}$$

az elektron töltése tömegtől függetlenül meghatározható

Hull és Williams \rightarrow e meghatározása

független eredmények \blacksquare e -re \rightarrow összehangban a többi méréssel

3. Sűrűség-ingadozások gázokban, görőkben

részecskék függetlenségét feltesszük, bármelyik részecske bárhol lehet

$$\frac{x^n}{n!} e^{-x} = \frac{(e^{-x})^n}{n!} e^{-e^{-x}}$$

Poisson-eloszlás

akkor ha függetlenül egymástól vannak

vagy mincselek a részecskék a ΔV térfogatban

(Poisson-eloszlás) feltétele a tökéletes függetlenség

Poisson-eloszlás tulajdonságai: $\frac{\lambda^n}{n!} e^{-\lambda}$

\hookrightarrow átlag $= \lambda = g \Delta V = N \frac{\Delta V}{V}$

\hookrightarrow szórási egyenlet $= \lambda = \bar{n} \Rightarrow \frac{\Delta n}{\bar{n}} = \frac{1}{\sqrt{\bar{n}}}$

Ideális gázra normál állapotban

is λ méretű köbökben 0,05% a relatív ingadozás

Reális gázokra nagyobb az ingadozás érték

4. Fényterjedés gázokban:

$\epsilon = 1 + 4\pi k \rho$ \leftarrow arányossági tényező
 \leftarrow sűrűség

dielektromos állandó $n^2 = \epsilon$
 \uparrow
 törésmutató

$\Delta(r^2) = 4\pi k \Delta \rho = (n^2 - 1) \frac{\Delta S}{S} \leftarrow$ sűrűség ingadozás

fény hatáscára másodlagos sugárzás

ingadozás miatt van egy polarizációs átlag (fénytörés lenne) + sugárzó dipólmóbblet (fényszórás)

Nem csak az átlagtól való eltérés számít, hanem a ~~teljes~~ homogen résztől való eltérés is számít (2-es feladat)

szög dipól sugárzása ω^4

energiaáramsűrűség $\frac{1}{\lambda^4}$ -ben a lényeg

lineáris abszorpciós koefficiens $\alpha = \frac{I_{\text{szórás}}}{I_0}$ \leftarrow szórási teljesítmény-sűrűség / \leftarrow bejövő teljesítmény

a szórási $\frac{1}{\lambda^4}$ -nel arányos

ezer miatt kék az ég, piros a lemenő nap

pirosat mindig könnyű elrevezenni

Avogadro-szám legjobb meghatározása a fényszórásból ~~kontrollálva~~ \approx 1900 körül az Alporban

5. A kinetikus gázelmélet alapjai

↳ azonos fajtajú, megkülönböztethető részecskék, amit ütköznet egymással

↳ a különböző mikroállapotok azonos makroállapotra vezet sokkal több

egyenletes eloszlásnak nagyobb a valószínűsége

↳ sebességter

↳ kijön a Maxwell - Boltzman - statisztika

$$N_i = A \cdot e^{-\beta \epsilon_i} \quad \beta = \frac{1}{kT} = \text{const.} \quad (T = \text{const.})$$

↳ ideális gáz → a részecskék csak ütköznek

$$N_i = A e^{-\frac{1}{2} \frac{m v^2}{kT}}$$

$$\hookrightarrow N = A' \left(\frac{2k\pi T}{m} \right)^3 \Rightarrow A' \checkmark$$

$$\hookrightarrow \mathcal{P}(v_x, v_y, v_z) = N \sqrt{\left(\frac{m}{2k\pi T} \right)^3} e^{-\frac{m}{2kT} (v_x^2 + v_y^2 + v_z^2)} \rightarrow \text{irányokban}$$

↳ sebességeloszlás:

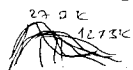
Maxwell - féle eloszlás jön ki $\mathcal{P}(v) dv = 4\pi v^2 dv A' e^{-\frac{mv^2}{2kT}} \rightarrow$ nagyságrend eloszlás

↳ energiaeloszlás

a 3 eloszlást kísérletileg igazolni lehet

a 3 eloszlás háttere a függetlenség, anyag-és energiamegmaradás, csak ütközés a kölcsönhatás

a kísérlet megvalósítása nehéz km/s-os a molekulák sebessége



↳ a képünk a gázokról

↳ gáztörésrel egymáson történő ütközés

sabad úthossz $\lambda = \bar{\lambda} = \frac{1}{\pi n_1 (2v_r)^2}$

a jó vákuumban $\frac{1}{\sqrt{2}}$ mm mély $\left\{ \begin{array}{l} \text{sűrűség} \\ \text{számsűrűség} \end{array} \right.$

ezzel könnyen lehet vákuálni dolgokat

szabad útközben mérés nagyon nehéz
 atomnyaláb kísérletek nehezek
 10^7 ütközés/másodperc a magyságra 0°C 133 Pa
 megmutatható a korábbiakban szereplő
 $\beta = \frac{1}{kT}$ k : Boltzmann-állandó
 ez a hőmérséklet definíciója

I.3. Atomok elektromágneses kölcsönhatásai

Gázok, gőzök tanulmányozásából az egyes
 atomtulajdonságokra jutunk

Abszorpciós, emissziós spektrumok

Látható tartomány: $\lambda \sim 380 - 780\text{ nm}$

$$\nu \rightarrow (7,89 - 3,85) \cdot 10^{14}\text{ Hz}$$

$$\omega \rightarrow (4,98 \cdot 10^{15} - 2,42) \cdot 10^{15}\text{ s}^{-1}$$

$$\left(\sigma = \frac{\nu}{c} \left(\frac{1}{\text{cm}} \right) \quad 26315,8 - 12820,5 \text{ (kayser)} \right) \text{ nem volt ekkor a kísérlet}$$

Kísérlet: forró test sugároz \rightarrow prizma-val
 létrejön a spektrum

sz. fehér fényt hideg gázra \rightarrow prizma \rightarrow abszorpciós
 spektrum \rightarrow sötét abszorpciós vonalak

hideg gáz oldalirányba kibocsátás pl. forró
 gáz kibocsátása \rightarrow emissziós spektrum

Abszorpciós spektrum:

1814. Fraunhofer vonalak a Nap spektrumában
 ezek alapján azonosították milyen elemek
 vannak a Napban, H vonalai

Emissziós spektrum:

forró gázok, gőzök
 ugyanott vannak a vonalak a két spektrum-
 ban

elérhető elemekre, széles frekvenciatartományban elvégzették a kísérleteket \Rightarrow hatalmas adatbázis (NIST ...)

a tájékozódás mehez \rightarrow söt-söt vonal

pl. K, K^+ emissziós spektruma bonyolult

a vonal-as spektrum \rightarrow intenzitással függ a körülményektől, de a vonalak megfelelően egymáshoz

a csúcsok helye jellemző, de a szélesség a magassága a csúcsoknak a körülményektől függ
mehendek ...

1. jellemző az atomra a vonalak helye
leírás: absorpció \rightarrow rezonancia, kényszer emisszió \rightarrow szabadenergia (a megrúgás uti)
2. vonalintenzitás arányos a részecskék számával
 - vonalshélesség $\sim \omega^2 \Rightarrow$ sugárzási csillapítás
 - Doppler-kétség $\&$ látható
 - van egy legkisebb frekvencia
 - a vonal-as tartományban söt vonal
 - vonal-sorozatok választhatók ki mintha valamely tartományt azonosításuk mehez \Rightarrow feladat
 - a mikro- és rádió- ~~hullámok~~ hullámok elnyelő-dekhez semmi köze az elektron-rezektékhez
3. emissziós spektrumnál az intenzitás hőm- és nyomásfüggő
a frekvencia-külsőségekben ismétlődéseket fedezték fel

spektrum-termeknek nevezték \rightarrow ma energiaszintek

$$\omega_r = |\epsilon_\alpha - \epsilon_\beta| \cdot 2\pi c$$

additív konstansig meg vannak határozva

Példa Ca^{++} emissziós spektruma

a 16 sávnál 8 sávval lehet generálni "term-sorozat" különbsége, amik megjelennek ilyen mátrixok foglalják össze az információkat termek közötti kapcsolatot mutatják a spektrumok van olyan atom, ahol hiányzik egy-egy különbség \rightarrow ami tiltja azt az átmenetet \rightarrow csak dipólátmenetet lehet megfigyelni a Földön laboratóriumi körülmények között a magfizikában megfigyelhetők a tiltott átmenetek, csillagközi térben is előfordulhatnak ~~ilyen~~ ilyenek

az átmenet hiányából lehet előremondani a fizikában (pl. Pauli-elv kialakulása)

! Rydberg-Ritz-féle kombinációs elv

(hidrogén spektrum: $\epsilon_\alpha, \epsilon_\beta$ ugyanaz

$$- \frac{1,1 \cdot 10^5}{n^2} \quad n \in \mathbb{N}$$

\Leftrightarrow sorozat generálható $\epsilon_\beta, n=2$

történetileg Balmer \Rightarrow Balmer-sorozat a látható tartományban

Dyman-sorozat UV-ben $\epsilon_\beta, n=1$

többi sorozatok is felfedezték a több n -re egyre kisebbek a Δw -k

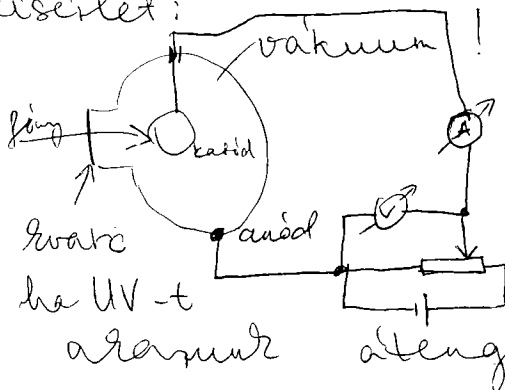
itt csak egy e^- van \rightarrow csak ezt lehet lehetni

I.4. Atom energiállapotok:

energiaátadás egy elemi folyamaton (a részecsvét
 námbal arányos a valószínűség)
 energiák diskret jellegűek

- ① Fotoelektronos jelenség szabad atomon
 fémekben: látható, UV fény \Rightarrow elektron lép ki
 e^- -ek száma intenzitástól függ
 energiája a frekvenciától függ
 legkisebb frekvencia létezik \rightarrow anyagtól függ

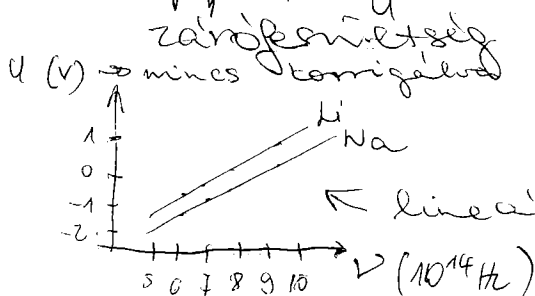
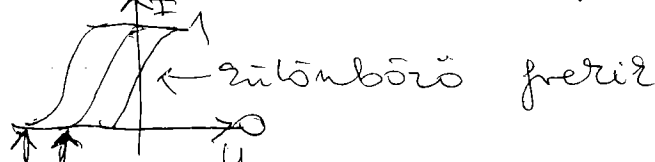
kísérlet:



lehető legnagyobb áram I_0

\downarrow
 ehhez képest
 nézzük a jelet.

van olyan ellenér, ahol 0 az áram innen
 népezen előbb a telítési áramot



Milikan (1916)
 \leftarrow lineáris összefüggés

növeljük a frekvit \Rightarrow a szücséges ellenér
 lineárisan nő

a görbét szigorúan párhuzamosan
 ért: $E = e \cdot U_s + E_e^{kin} + \Delta k = h\nu$

\uparrow
 kilépési
 munka

\uparrow
 arányossági tényező
 Planck-állandó

$$\Delta E = 0 \Rightarrow E_e^{ki} \text{ max.}$$

v_s független az intenzitástól
 az elektron "rögtön" ($< 10^{-14}$ s) kilép
 a hullámkepet megdöntendő csinálunk egy
 becslést ... kilépés idejét az intenzitástól
 kéne függeni, de ez ellentmond a kísérletnek
 hamarabb kilép és kisebb intenzitásra

☛ fotonhipotézis $E = h\nu$

$$E^2 = m_0^2 c^4 + p^2 c^2 \quad m_0 = 0 \Rightarrow p = h \frac{\nu}{c} = \frac{h}{\lambda} \text{ foton}$$

impulzusa

a fotoelektromos jelenség így értelmezhető,
 hogy a fény darabokból áll (Einstein 1905)
 (1921. Nobel-díj)

$$E = eV_0 + eV_s = h \cdot \nu$$

↑
kilépési munka

← kinetikus energia (zárdőfeszültségből)

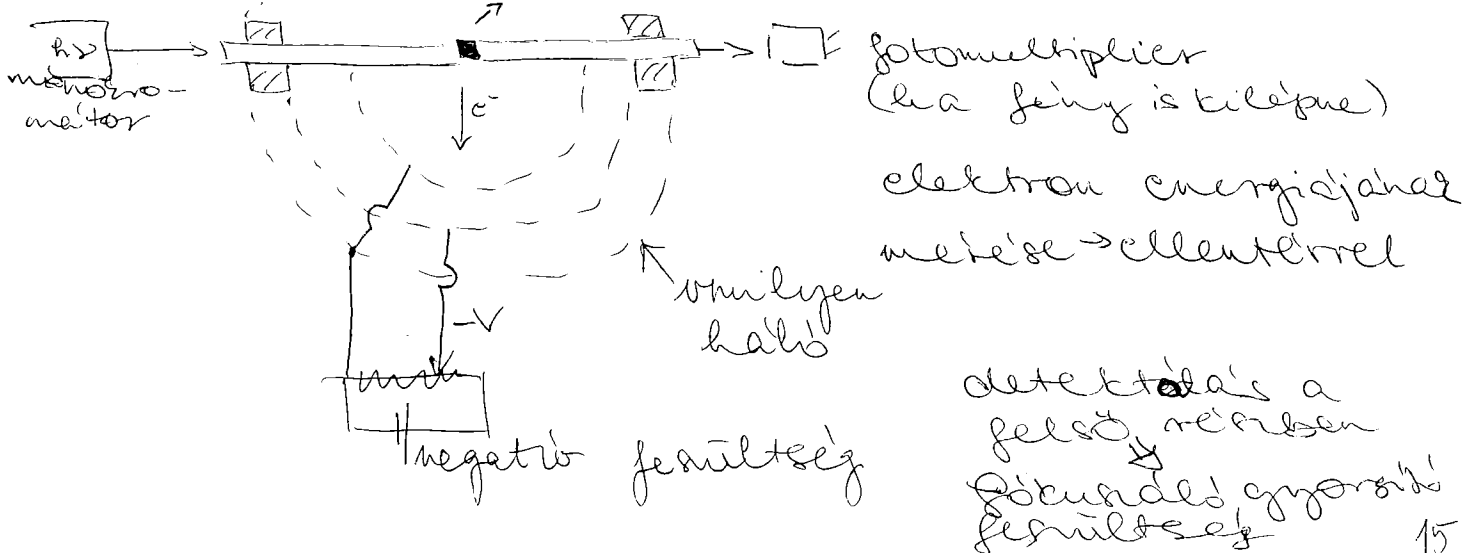
minden anyagra párhuzamos az a bizonyos
 görbe $\Rightarrow h = 6,62 \cdot 10^{-34}$ Js \rightarrow terület egysége
 $\hbar = \frac{h}{2\pi}$

fotoeffektus egyatomos gázon / gázon:

nehézebb kísérletek \Rightarrow később (~ 1960)

külsőfrekvencia nagyobb \Rightarrow UV, távoli UV

kísérleti berendezés:



Eredményel: -- atomos energiával lépnek ki ν -al
 esetén \rightarrow nincs $\Delta k \rightarrow E = eV_0 + eV_s = h\nu$

- több kilépési munka, mert többféle állapotú elektronok \Rightarrow különböző kitési energiát
- elektronok száma az ^{tehr} ν abszolút intenzitásával arányos

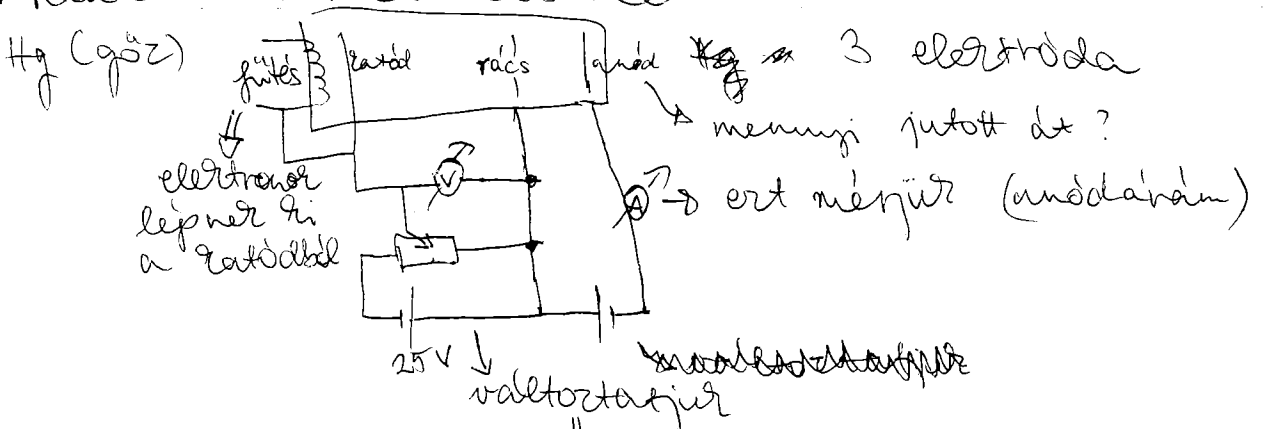
Az elektromágneses tér energiája mindig $h\nu$ diszkrét értékekkel nyelődik el v. sugárzódik ki. kvantált az EM tér

A sugárzási tér az anyag atomos jellegéhez hasonló \rightarrow vannak eltérő tulajdonságok

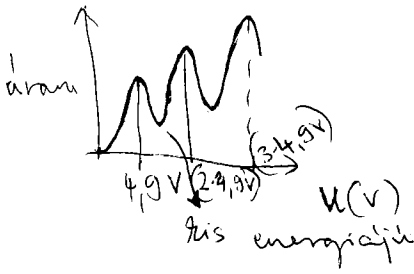
Planck \rightarrow energiakvantálás, felfedezést sugárzás feltételéről, hogy az energia $h\nu$ energiaadagban terjed \rightarrow munkahipotézise

② Atom - elektron ütköztetése
 léteznek-e energiaszintek, amit a természet mutat ?

Frank - Hertze kísérlet



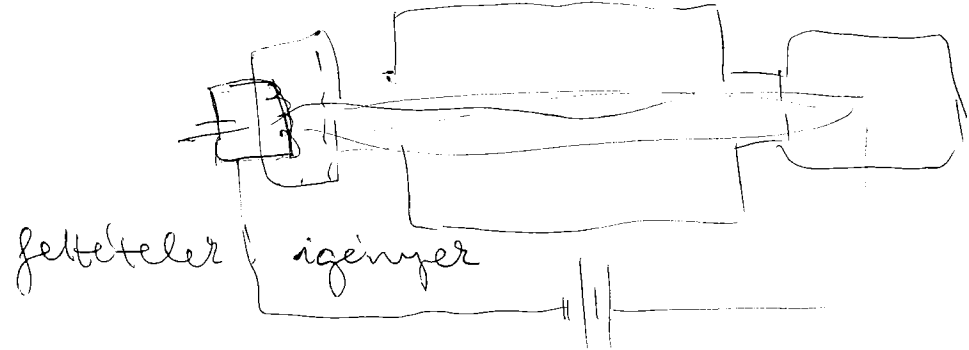
különböző \downarrow energiával ütköznek a nagy energiájúak - jutnak át az ellenfélre



felnyitbocsátás a minimumhelyeken
 ↳ gerjesztődik a Hg atom az
 ütközéstől
 elektronok → ütköznek a Hg-nyal átadják
 az energiát

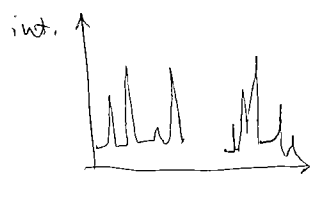
Kísérlet: $E_e < E_{el}$?

elektronágyú ütközési kamra analízátor kollektor



jó berendezést nehéz csinálni, mert az igényjel
 ellentmondóak

helium + elektron ütközés eredmények:



vonalas spektrumot lehet
 kapni
 ↓
 atom különböző
 állapotai

nátrium → két állapot $E_1 = 2,1 \text{ eV}$ $E_2 = 3,2 \text{ eV}$
 $E_e = 1,5 \text{ eV}$ egy vonal → nem tud felvenni a Na
 energiát
 $E_e = 2,5 \text{ eV}$ két vonal → gerjesztett állapotba lévő
 elektronok is $2,1 \text{ eV}$ -tal
 $E_e = 3,5 \text{ eV}$ 3 vonal → hasonlóan az előzőhöz

↳ az atomban objektíven létezik az energia-
 állapotok, energiaszintek (természetesen volt)

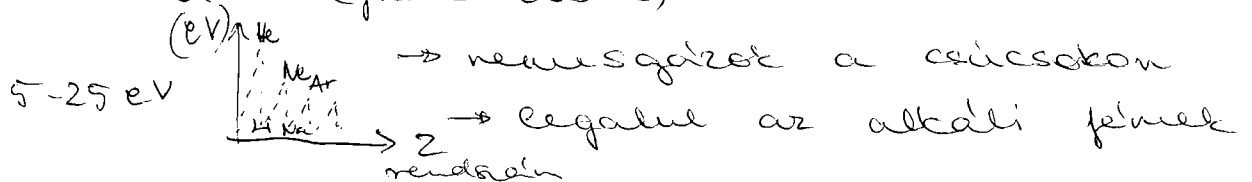
- E_0 jellemző
- jól meghatározott energiaszintek

③ Atomok energiaszintjei

stacionárius állapotok

alapállapot, gerjesztett állapotok

ionizáció

ionizációs potenciálok \rightarrow éppen elégtelen az elektronok az atomról (fura ábra)II. A kvantumfizikai jelenségekmegfigyelése a mikrovilágban

kvantumfizika mire épül?

mikrofizika

II.1. Kettős természet① EM hullámkép: elhízlás, interferencia stb.

részecskékép: impulzusátadás, energiátadás

optikai Doppler-jelenség mindkettővel magyarázható illetve a fénynyomás is

\swarrow astrofizikában fontos
 \downarrow
 siteresen leírható a két képpel

- fénynyomás \rightarrow statisztikus jelenség

② Compton - jelenség:

Röntgen-sugarak sűrűsége paraffinon

a másodlagos sugárzásban csak ugyanazt

a frekvenciát kéne látni a hullámkép

szerint, de jellep egy másik is

(Bragg ráig a hullámhosszal van kapcsolatban)

két csúcs \rightarrow koherens

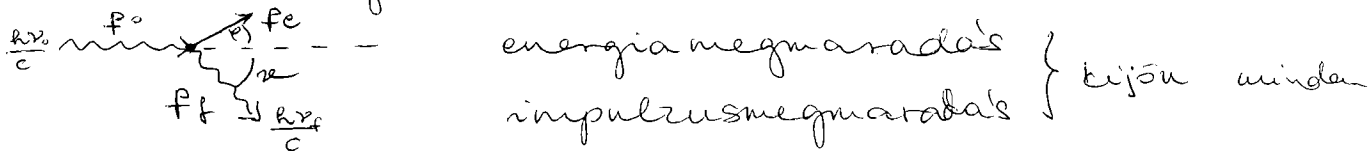
\swarrow
 Compton - sugárzás

Compton - kísérlete

Magyarázat: fotontéppel (Debye)

a foton kölcsönhat az elektronnal
 hogyan lehet inkoherens sugárzás?

(a valószínűségtől nem tudunk mit mondani)



$$p_0 = p_e + p_f$$

$$p_0 \cdot c + m_0 \cdot c^2 = \sqrt{p_e^2 c^2 + m_0^2 c^4} + p_f c$$

szemben adoprunk $\rightarrow p_0 \mid p_e \mid p_f$ egy síkban
 átalakítások:

$$h\nu' = \frac{h\nu}{\gamma(1 - \cos\theta) + 1} = \frac{h\nu m_0 c^2}{h\nu - h\nu \cos\theta + m_0 c^2}$$

$$\gamma = \frac{h\nu}{m_0 c^2} \quad \left(\begin{array}{l} \text{foton energiája} \\ \text{elektron nyugalmi energiája} \end{array} \right)$$

elektron energiája ...

hullámhosszváltás: $\Delta\lambda = \frac{h}{m_0 c} 2 \sin^2 \frac{\theta}{2} = 2\lambda \sin^2 \frac{\theta}{2}$

$\lambda = 0.02477 \text{ \AA}$ Compton - hullámhossz elektronnal

ha $\gamma \ll 1$ $h\nu \approx h\nu'$ (nincs koherens komponens)

his energiát visszaadja a koherens sávra

$\gamma > 1$ $\nu \gg 0$ $h\nu' \approx \frac{m_0 c^2}{1 - \cos\theta}$ nagy energiát

pl. $\theta \sim \pi \rightarrow h\nu' \approx 250 \text{ keV} = \frac{m_0 c^2}{2}$

Compton - sávok elemi folyamat

Nagy energián az elavult csúcs eltűnik

Elektron és γ foton kilépésének egyidejűsége:

$$10^{-11} \text{ s}$$

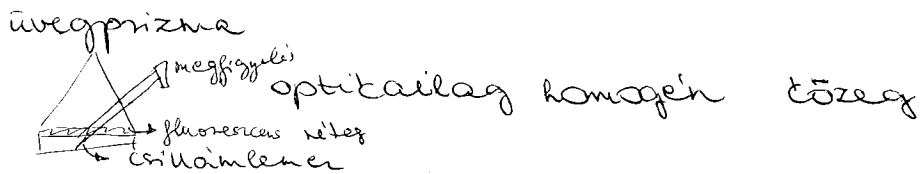
technika mai állása mellett egyidejűt

hatasteremtőre $\sigma \sim Z$

(Klein - Nishina formula)

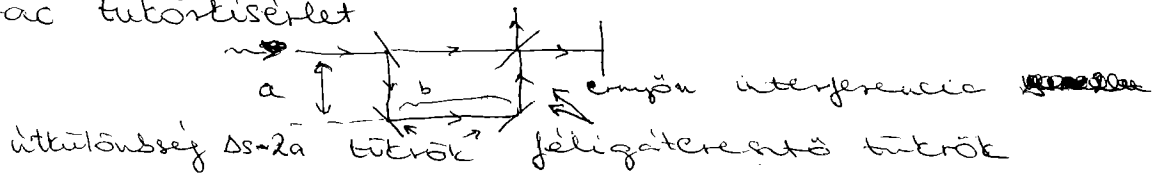
Kísérletet a fény részecske- vagy hullámjellege eldöntésére

- Einstein \rightarrow két koncepció egyesítése próbálkozás \rightarrow sok ilyen volt \rightarrow túsugárzás
- Selényi Pál \rightarrow cáplát, nagyfóti interferencia



melyre az a legnagyobb rágy, ahol még van interferencia? \rightarrow majdnem $180^\circ \Rightarrow$ túsugárzás nem lehet igaz

• Dirac tütörtísérlet



ha a-t növeljük koherencia megszűnik

b \rightarrow spektrométer kárja

koherenciahossz a métertartományban

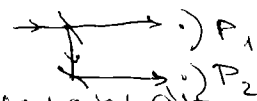
Jánossy - kísérletben próbálták megnövelni a kárt

\rightarrow felvittek 13 m-re interferencia volt

\rightarrow csak egy foton a rendszerben \rightarrow volt interferencia

\rightarrow "detektáljunk fél fotont!"

vagy együtt vagy másik detektált \rightarrow nincs coincidencia \Rightarrow nincs fél foton



Tehát egy foton interferál, de az útját nem lehet meghatározni.

Az elektromágneses jelenséget egyszerre részecskét és hullámot c

\Downarrow

Logikus gondolat \rightarrow részecskénél ~~gondolt~~ gondolt dolog hullámot-e?

II.2. Az anyaghullámok

DeBroglie: $\lambda = \frac{h}{p} \rightarrow$ alapvető felismerés bizony az elektronok elhajlása:

Davissen - Germer kísérlet 1927.

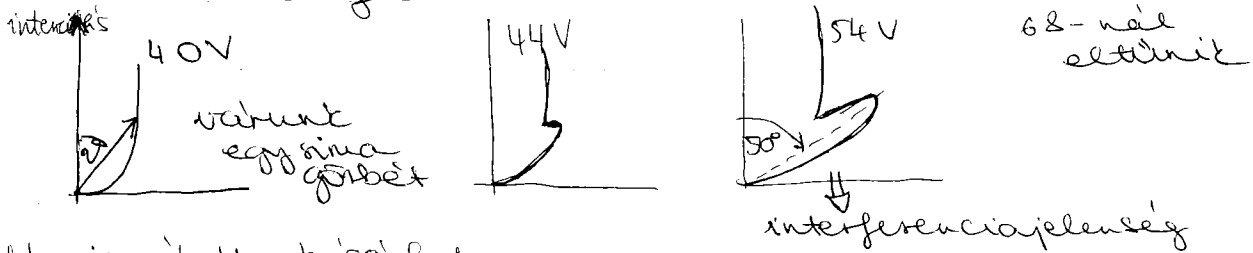
kísérlet: nem erre találtak ki, visszavert elektronokból alakítat a kristályban lévő atomok kóniái terekre következtetni

köbös lapcentrálta rácóra elektronok merőlegesén \rightarrow sugóben detektor

$e \cdot U = \frac{1}{2} m v^2 \quad v \ll c \quad \lambda = \frac{h}{p} = \frac{h}{mv} = \frac{h}{\sqrt{2meU}} = \frac{12.25}{U(V)} 10^{-10} \text{ m}$

\downarrow
gyorsítófeszültség

kísérleti eredmények:



ismételt, javított kísérlet:

túlsó visszaverődés vizsgálata

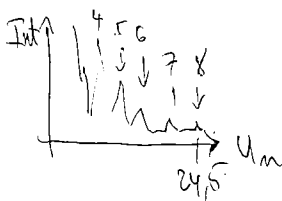
a kristálytani síkek (d) távolságára \Rightarrow rácsállandó

útkülönbség: $2d \sin \varphi = \Delta s$

Bragg - felt. $2d \sin \varphi = n \lambda$

$2d \sin \varphi = n \frac{h}{\sqrt{2meU}}$
 $\sqrt{U_n} = \frac{h \cdot n}{2d \sin \varphi \cdot \sqrt{2me}} = K \cdot n$

intenzitást mérték a megfelelő helyen



a sz. eltérés az elején a vártól \Rightarrow kilépési munkával korrigálni kell

elektron hullámtulajdonságokat mutat

\rightarrow fázis áthaladás

\rightarrow kristályon elhajlás

↳ mesterséges vonalracon

↳ elektronok jellegzetes hullámtulajdonságokat mutatnak

következő kérdés → egy elektron interferál-e magával? → IGEN

$\lambda = \frac{h}{p}$ nagy pontossággal igazolja a kísérletet

Atom- és molekulanyalábok elhajlása:

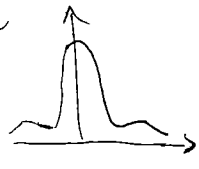
↳ összetett részecskéket is mutatnak hullámtulajdonságokat? vagy csak az elemi részecskék, mint az e^- ?

! Stern kísérlete:

(legnagyobb valószínűségi sebességű nyalábok választják ki) magas hőmérsékleten, H, He atomokkal

a beeső nyaláb a kristálytani síkba visszaverődés utáni - halogén sókristályon eredményes jellege

↳ megmaradt csak kevésbé → tiszta, szép kép
atomok, molekulák is mutatnak hullámtulajdonságokat



C_{60} molekula hullámtulajdonságait is bemutatták

↳ diffrakciós csúcson a rács hatáskora
↓
koherens fényaláb

Hullámcsomag, határozatlansági reláció

az anyaghullámok a klasszikus nem érti kételyt, kísérlet → fény hullámtulajdonságai elektronnyalábbal → detektorokkal ugyanaz a kép



Az elektron ~~sza~~ nem látható omlathatóan, de interferenciát saját magával \rightarrow az interferencia eltűnik, amikor az utat is meg akarjuk határozni.

Elsérelti eredményet miatt a részecskéhez interferenciátípusos amplitúdót kell rendelni valószínűségi sűrűséget vezetjük be: $[x, x+dx]$ között van az elektron $\Rightarrow P(x)$

$\Psi(x)$ valószínűségi amplitúdó $P(x) = |\Psi(x)|^2$

Superpozíció legyen igaz

$$\Psi = \Psi_1 + \Psi_2 \quad P = |\Psi_1 + \Psi_2|^2 \quad \Psi = \sum_i \Psi_i$$

aktív igaz, ha elvileg nem lehet megmondani melyik út valószínűségi

ha szétválnak az utak $P = \Psi_1^2 + \Psi_2^2$

Milyen legyen Ψ ? analógiával ~~is~~ ~~gondol-~~
torunk: síkhullám $\Psi = A e^{i(kx - \omega t)}$

megmutatlató, hogy $(\vec{p} \cdot \vec{r} - Et)$ Lorentz-invariáns

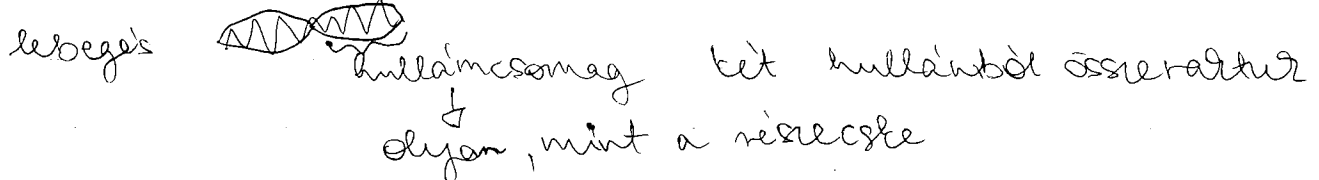
$$E = \hbar \omega \quad p = \hbar k$$

$$\Psi = A \exp\left(\frac{i}{\hbar} (\vec{p} \cdot \vec{r} - Et)\right) \Rightarrow \text{alkalmas interferencia-}$$

típusos amplitúdómat

a $|\Psi|^2 = \text{állandó} \rightarrow$ nem localizálható térben és időben \Rightarrow nem jó részecskére

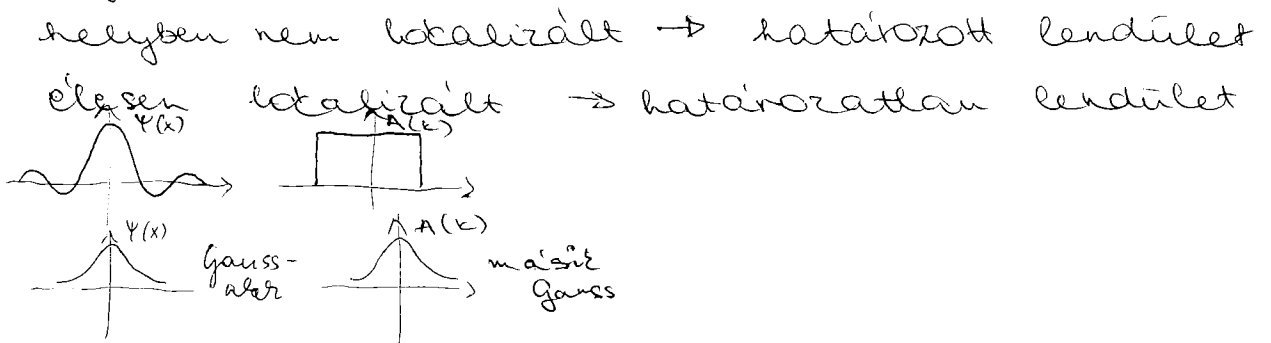
ha azt akarjuk, hogy localizálható legyen először nem határozott a hullámhossz \Rightarrow nem jó olyan kell, ami részecskére és hullámra is jó.



a részecskéket hullámcsomagként kell leírni
 nem 1 síkhullámként (sőt síkhullámból összeállva)

igazi hullámcsomag $\Psi(x) = \frac{1}{\sqrt{2\pi}} \int_{-\infty}^{\infty} A(k) e^{ikx} dk$
 a hullámcsomag egy tartományon folytonosak
 $A(k) = \frac{1}{\sqrt{2\pi}} \int_{-\infty}^{\infty} \Psi(x) e^{-ikx} dx$
 egymás ~~re~~ Fourier - transzformáljai

méhány egyszerű példa:



$\Delta k \cdot \Delta x$ szorzat alulról korlátos, Gauss-mal a legkisebb $\rightarrow \Delta x \Delta k = \frac{1}{2} \left[\Delta x \cdot \Delta p \geq \frac{\hbar}{2} \right]$

Heisenberg - féle határozatlansági reláció (1927)

$\Delta E \cdot \Delta t \geq \frac{\hbar}{2}$ - hasonló módon
 \downarrow \hookrightarrow karakterisztikus idő
 energiatartományúság

a kvantumfizika egyik pillére a határozatlansági reláció

komplementer mennyiségeket E és t x és p
 energia idő hely impulzus
 elektron

a valószínűségi jelleg elsődleges tulajdonság
 a kvantumfizika atlagokkal számol
 azt ~~nem~~ tudjuk megmondani, hogy egyes elektronok hova
 mennek, de a valószínűséget lehet megmondani
 \Rightarrow sőt elektron interferenciát mutat

II.3. Mikroészlet impulzusmomentuma:

- ↳ kvantumtulajdonságot mutat
- ↳ fontos szerep
- ↳ mágneses tulajdonsággal egyértelmű kapcsolatot

① H-atom Bohr-féle elmélete

- ↳ miért nem esik bele a magba, ~~e~~ hiszen folyamatosan sugározna tényleg?
- ↳ miért nem sugároz?
- ↳ miért konstans az atomsugár?

ezekre a kérdésekre kell választ kapni

Bohr (1913): alappondolat a bolygómodell + posztulátumok (kijelenti, hogy így van)

1. $N = n \cdot \hbar$ impulzusmomentum csak ez lehet
2. ilyen pályán nincs sugárzás
↓
(klasszikus alapon megmutatható)
3. minden pályának egy energiaszint felel meg
4. fény az energiaszintek közötti átmenetekből

Ezektől az eredményre vezetnek:

$$m \rightarrow n \quad h\nu = E_m - E_n$$

$$U(r) = -\frac{Ze^2}{r} \text{ potenciáljv.}$$

$$\text{kinetikus } E_k = T \quad T + U(r) = E \quad \text{ha } E < 0 \text{ akkor kötött}$$

$$\underline{F} = \nabla U(r) = -\frac{Ze^2}{r^3} \underline{r} \rightarrow \text{ legyen centripetális erő}$$

$$\frac{Ze^2}{r^2} = \frac{m_0 v^2}{r} = \frac{p v}{r} \quad | \frac{r^2}{v}$$

$$\frac{Ze^2}{v} = p r = n \hbar \quad \rightarrow \quad v = \frac{Ze^2}{n \hbar}$$

$$r = \frac{n \hbar}{m_0 v} =$$

energianívót ezelebből:

$$\text{↻ } E_n = -\frac{m_0 Z^2 e^4}{2 \hbar^2} \frac{1}{n^2}$$

átmenet

$$h\nu = \frac{m_0 Z^2 e^4}{2 \hbar^2} \left(\frac{1}{m^2} - \frac{1}{n^2} \right)$$

$$n > m$$

- ha m_e helyett μ redukált tömeget írjuk, akkor általában leírható a Bohr - elmélettel a H - spektrumát
 - többi atomra kiterjesztés nehéz és nem ad jó eredményeket
 - azért jó az elmélet, mert bevezeti az impulzusmomentum kvantáltságát, az energiarintéket, és hogy a e^- pályáknak folytonos alatti \rightarrow kvantumelméletben értelmetlen rákérdezni, mi a pálya
 - az impulzusmomentum egy vektor \rightarrow kvantáltsága jelentheti a nagyságát és az irányának kvantáltságát is \rightarrow nézzük meg! $\ddot{\smile}$
- kísérlet: ~~...~~

②. Atomnyalábok mágneses analízise

Impulzusmomentumhoz mágneses momentum tartozik

mágneses momentum $\mu = \frac{I}{c} \cdot A = -\frac{e}{2mc} \cdot \underline{N}$ \rightarrow arányosan egymással
felületre merőleges felületvektor

össze vannak kötve $\underline{\mu}$ és \underline{N} , ezért a $\underline{\mu}$ -t vizsgálhatjuk \underline{N} helyett

$$E_{magn} = -\underline{\mu} \cdot \underline{B}$$

a mágneses analízissel vizsgálódunk

Stem - Gerlach kísérlet:

rákérdez a Bohr - modell szerinti kvantáltságra az irány szerint is \rightarrow bármely kijelölt irányhoz képest kvantált

cél: μ_z meghatározása

inhomogén mágneses térben atomnyaláb elterülése

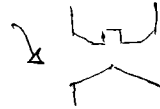
nyaláb: $\underline{v} \perp \underline{B} (0, 0, B_z)$ $F = \mu_z \nabla B$
 $\underline{a} \perp = \frac{\mu_z \nabla B_z}{m}$

$$v_{\perp} = \frac{L}{\hbar} \frac{\mu_z \nabla B_z}{m} \Rightarrow \theta = \frac{v_{\perp}}{v} = \frac{\mu_z \nabla B_z L}{m v^2} \approx \text{ittoszi}$$

↑
eltérülés szöge

tíselet vákuumban, atom/molekulaforrás → kis rés, kollimátor, elektromágnes

fotomulziós lemezzel



híra kristályosított

detektáltak az erüstatomokat



lemezeken két csoport keletkezett → irány szerint nézve a nyíláb → klasszikusan nem értelmezhető

pl. mérete a sebességet különbözőségektől függ
sebességseparator cell

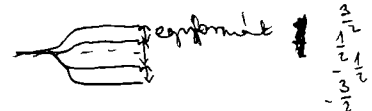
- eredményel: → téveszárú csoport
↳ csoportok távolsága egyenlő és szimmetrikus a középvonalra
↳ csoportok intenzitása egyenlő

- pl.: He → 0, Ag, # → 2, N → 4, O → 5, neutron → 2 kis eltérülés
(komponensek száma $2j+1$)

ha j az imp. mom., akkor ↑

- ha μ_z ugyanaz, akkor $E_z = \mu_z B$
- μ_z sajátállapota a rendszernek → egy csoport nem válik két többször
- komponensek sorszáma $-j$ és j közötti egész számok
m számok → mágneses kvantumszám
 j és m egész vagy feles → páros v. páratlan komp.

- pl.: Oxigén atom $J=2$ Nitrogén $J=\frac{3}{2}$



- egy csoportot újra analizáljuk egy elforgatott (2^0) mágneses térrel \Rightarrow újra amúgyi csoport
- mind(három) komponensét nem tudunk meghatározni egyszerre (cio. $(0,0,0)$)
- az intenzitással l -től függenek

A mágneses momentum nagysága:

$$\mu = \pm g \cdot \mu_M \left(\frac{N}{h} \right)$$

g faktor definíciója \leftarrow egységmágneses momentum

$\mu_M \rightarrow$ magneton $\mu_M = \frac{eh}{2mc}$

ha m az elektron tömege Bohr-magneton

ha m a proton tömege mag-magneton

$g \rightarrow$ gyromágneses faktor: mivel korozuk az

imp. momkvantumszámot, hogy a mágneses kvantumszámot kapjuk (fontos szilárdtestfizikában)

③ Az elektron sajátperceúlete (spinje)

\hookrightarrow elektron \rightarrow nincs értelme a belső szerkezetétől

\bullet beszállni \rightarrow elemi rész

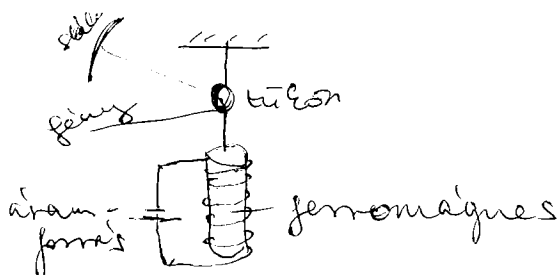
$\hookrightarrow \pm \frac{1}{2}$ a mágneses kvantumszáma

bármilyen irányba a vetületek száma ugyanaz

\bullet mindenne !!!

\hookrightarrow elektron g faktora: 2

Einstein - de Haas kísérlet



ebből $g=2$

④ Mikroreészlet impulzusmomentuma:

\hbar egész számú, $\frac{\hbar}{2}$ páratlan számú

↳ bozonok

↳ fermionok

Éb. (80 és 100) \hbar körüli impulzusmomentumok fordulhatnak elő → magfizika

II.4. H-atom spektrumának részletei a kísérletek alapján

H-atom a kvantummechanika módszerének kiképzőcsőjéhez (kijön a tényleg a Coulomb-ör.)

H-atom az általánosított az atomfizikában módszer: fel kell írni a Schrödinger-egyenletet és megoldani és akkor jutunk a már ismert rendszerre

$n = 1, 2, 3, \dots$

$l = 0, 1, 2, \dots, (n-1)$

$m = -l, -l+1, \dots, +l$

fő
mellék
mágneses } kvantumszám

E_n ugyanaz → l és m szerint degenerált

1 - 0 - 0 → 1

2 - 1 - 0 } → 4

3 - - - } → 9

degeneráció

↳ l szerinti a Coulomb-ör. miatt, mert pont -2 a kitevő
(Cb.-tér $E \sim \frac{1}{n^2}$, harm. osc. $E \sim (n+\frac{1}{2})$, négyzetpot $E \sim n^2$)
még a degeneráció

Cb.-kölsönhatás a fő → főjelenség → fő vonalak
nagyobb felbontással → felhasadnak a vonalak →
→ mellékjelenség → spin-pálya kölsönhatásból,
mágneses kölsönhatás

a) spin-pálya kölcsönhatás:

elektron mozgása miatt mágneses térben az elektron saját mágneses momentumát beállása kis különbséget jelent az energiában

~~magyarul~~

$$\underline{B} = -\frac{1}{c}(\underline{v} \times \underline{E}) \quad \underline{E} = -\frac{r}{r} \frac{dV(r)}{dr} \frac{1}{+e} \Rightarrow \underline{B} = -\frac{1}{ce}(\underline{v} \times \frac{r}{r}) \frac{dV(r)}{r}; \quad \underline{N} = \underline{r} \times m_0 \underline{v}$$

$$\underline{B} = \frac{1}{m_0 c e r} \frac{dV(r)}{dr} \cdot \underline{N} \quad (\underline{N} = \underline{L} \rightarrow \text{jelölés a diaán})$$

a korrekt levezetéséhez lenne, aminet az eredményben fele energiát jön ki $(\underline{B}_T = \frac{1}{2} \underline{B})$

finomfelhasadás:

l.s skalárszorzatot kell meghatározni
 nagyságrendje \hbar^2

$V_{ls} \approx 10^4 \text{ eV}$ ~~≠~~ nagyságrendbe esik a felhasadás energiakülönbsége

a kísérleti értéket felhasználva számolható

~~l.s~~ várható értéke : $\underline{l.s} = \frac{\hbar^2}{2} (j(j+1) - l(l+1) - s(s+1))$

$$\Delta E_{ls} = (j(j+1) - l(l+1) - \frac{3}{4}) \gamma_{ls}$$

A nem függ l, s -tól

minden $l \neq 0$ nívó két részre bontódik fel

$$E_{nl} = \frac{l \gamma_{ls}}{-(l+1) \gamma_{ls}} \quad \text{pl: } 2p \ (l=1) \text{ nívó}$$

kísérlet igazolja - e: - nagyságrend jó
 - nincs egyezés

a: relativisztikus korrekció nagyobbban a nagyságrendben

b) relativisztikus korrekció \rightarrow csak a H -atomnál

furcsa eredményre vezetnél \rightarrow csak j -től függ

$2s_{1/2}, 2p_{1/2}$ degenerálta válik

\rightarrow az alapállapot 10^{-6} eV nagyságrenddel ~~≠~~ elcsúszik

③ hiperfinom felhasadás:

- mag-el. kölcsönhat, p^+ és e^- mágneses momentumai hatnak egymásra

$$\Delta E_{HF} \approx \frac{\mu_1 \mu_2}{r^3} \approx 5 \cdot 10^{-6} \text{ eV} \ll \Delta E_{Ls}$$

a spin-pálya energia sokkal nagyobb

- l és s csatolása marad
- a proton spinje f -hez igazodik

a mágneses momentumok szorzata járul szerepet

$$V_H = \mu_P B_0 \rightarrow \text{proton spinje csatolódik } f\text{-vel}$$

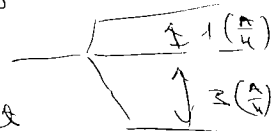
nem mindkét hogyan áll be a proton spinje az alap (e^- mozgásából) mágneses térhez képest

$$F = f \pm \frac{1}{2} = f \pm s \quad F = 0 \uparrow \downarrow \quad F = 1 \uparrow \uparrow \rightarrow \text{impulzusmom.}$$

μ_B skalárvortattávan megjelenik $s \cdot f$ skalárszorzat az előző felhasadáshoz hasonlóan

hasonló helyzet, mint a spinpálya kölcsönhatás-nál \Rightarrow az alapállapot felhasad

a tétő közötti spontán átmenet



$$\text{vizsgálata } \Delta E_{HF}(n=1, f=1) = h \cdot 1418,9 \text{ MHz}$$

(microhullám tart.) tiltott átmenet \rightarrow labora-

tóriumban nem figyelhető meg

interstelláris térben betöveketik ez a tiltott

átmenet \rightarrow rádiócsillagok detektáltak ilyenmi

sugárzást \rightarrow • 21 cm-es sugárzás \rightarrow 1,3 MHz hiányzik

hiányzik még egy korrekció $g_{el} = 2 \rightarrow$ 6. jegyben nem

ennyi

④ Lamb-féle vonaleltolódás:

- az elektromágneses kölcsönhatás általános szerkezeté-
vel kapcsolatos

- részecske - hullám dualizmus általános jelenség

- állandó fotonot emissziója, abszorpciója

- kölcsönhatás: virtuális fotonok cseréje

- magasabb rendű effektusok \rightarrow partikulák

rákvámpolarizáció

- Coulomb - br. kis távolságra eltérést mutat a virtuális $e^- - e^+$ pártólés miatt
- konzevencia : $g_{el} \neq 2$ 6. jegyben eltérés (erős kölcsönhatás tere miatt, ami a proton g -faktorában jól látható \rightarrow nem is akar 2 (ami))
- $2s_{1/2}$, $2p_{1/2}$ niódt kis mértékben felbomlanak a $\#$ -atomnál \rightarrow Lamb-shift

Lamb-Rutherford kísérlet (1947) mutatta meg ~~g~~ optikai úton gyakorlatilag nem lehet kimutatni ilyen kicsi eltérést

$2s_{1/2}$, $1s_{1/2}$ között tiltott átmenet

$2p_{1/2}$, $1s_{1/2}$ között gyors, megengedett átmenet kísérletben sükség van egy B mágneses tere kísérleti berendezés:

$\#$ -kánya magas hőmérsékleten (2500°C) \rightarrow

~~széles~~ \rightarrow ne molekulák legyenek

gerjesztjük elektronnyalábbal az alapállapotú $\#$ -atomokat, besugátozunk EM térével, detektáljuk hogy hány $\#$ -atom éterett meg egy volfram lapra \rightarrow alap nem hoz létre áramot, de a gerjesztett állapotú, kivált elektront \Rightarrow nő az áram

$2s_{1/2}$ \rightarrow eredet számoljuk

ha eltaláljuk az átmenet frekvenciáját mérjük az áram.

ma egyszeres a mérési eredményekkel

H_α -vonal "éhvileg" $n_1=2$ $n_2=3$ $\lambda_{H_\alpha} = 656.28 \text{ nm}$
 kísérleti pontossággal \rightarrow ossz. 7 átmenet

Összefoglaljuk a kölcsönhatásokat H-atomnál

- ↳ Coulomb - kölcsönhatás
- ↳ spin - pálya - kölcsönhatás (minden területen fontos)
- ↳ hiperfinomfelhasadás: proton és elektron mágneses momentumok kölcsönhatása
- ↳ Lamb - shift: degenerációt feloldja, vákuumpolarizáció, részecskék saját tereket és megváltozása

A többi atomnál is hasonló a fizikai kép
Az internetes anyag több \rightarrow az elmondottakat
kell tudni